

粒子物理实验 数据处理

孙 胜 森

sunss@ihep.ac.cn

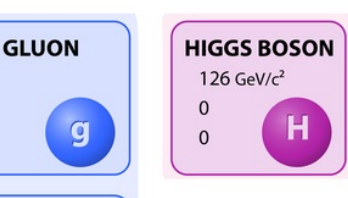
第三届高能物理计算暑期学校 2022年8月17日



STANDARD MODEL OF ELEMENTARY PARTICLES







0

0

N













ELECTRON

e

Е



MUON

105,7 MeV/c2

















• 标准模型

- ✓电弱统一理论 实验对电弱理论有很多精确的测量和检验; 2012年 Higgs粒子的发现标志着电弱理论的巨大成功
- ✓量子色动力学 高能下的QCD得到实验的大量检验,QCD的渐进自由

• 标准模型不能回答的问题

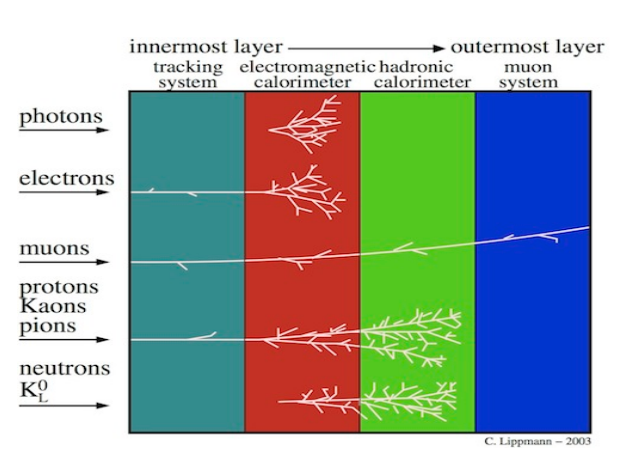
- ▶电弱对称性破坏和电弱相变
- > 味对称和味结构
- > 质量等级
- ▶暗物质
- ▶暗能量
- > 反物质不对称
- ▶宇宙膨胀
- ▶ 引力的量子化和量子属性



粒子物理实验

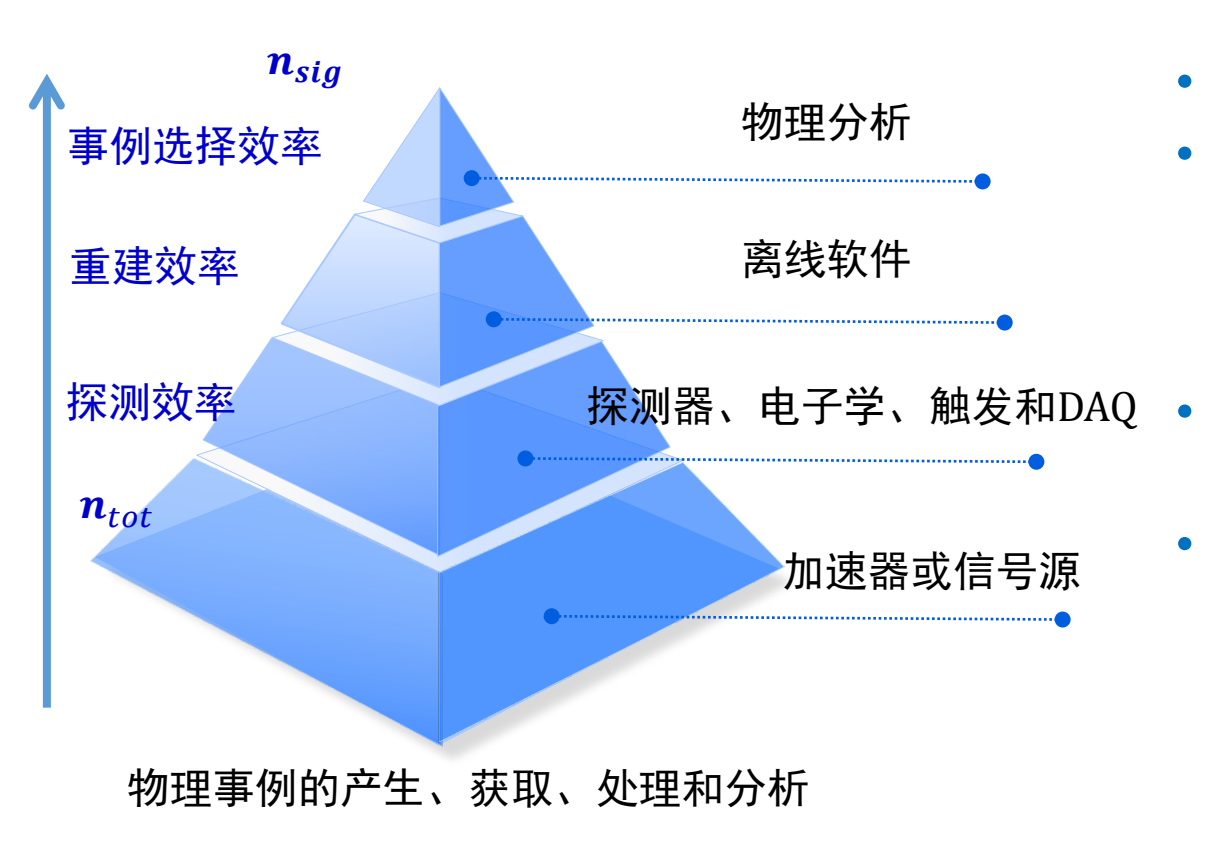
- 非常简单粗暴地划分: 理论 一 动力学; 实验 一 运动学
- 粒子物理实验的研究内容:
 - ▶粒子的产生:截面、产生机制
 - ▶粒子的性质:质量、寿命、共振宽度、自旋、宇称, ……
 - ▶相互作用的物理规律: 衰减常数、衰变分支比、能谱、形状因子、物理量的守恒与破坏, ……
 - >寻找新粒子,新物理现象
- 测量对象: 带电粒子 e, μ , π , K, p 中性粒子 γ , K_L , ν , n 的四动量 (p_x, p_y, p_z, E)
- 微观粒子的探测是通过粒子与宏观物质的相互作用实现探测的
 - ▶ 带电粒子与介子的分子,原子及核的碰撞
 - ✓ 电离能损 ✓ 穿越辐射
 - ✓ 多次散射 ✓ 韧致辐射
 - ✓ 切伦科夫辐射 ✓ 正负电子湮灭

- ▶光子与探测器介质的作用
 - ✓光电效应
 - ✓ 康普顿散射
 - ✓电子对产生



粒子与探测器相互作用输出的电信号,经过电子学提取电荷、时间等信息,形成原始数据

数据产生、获取、处理和分析

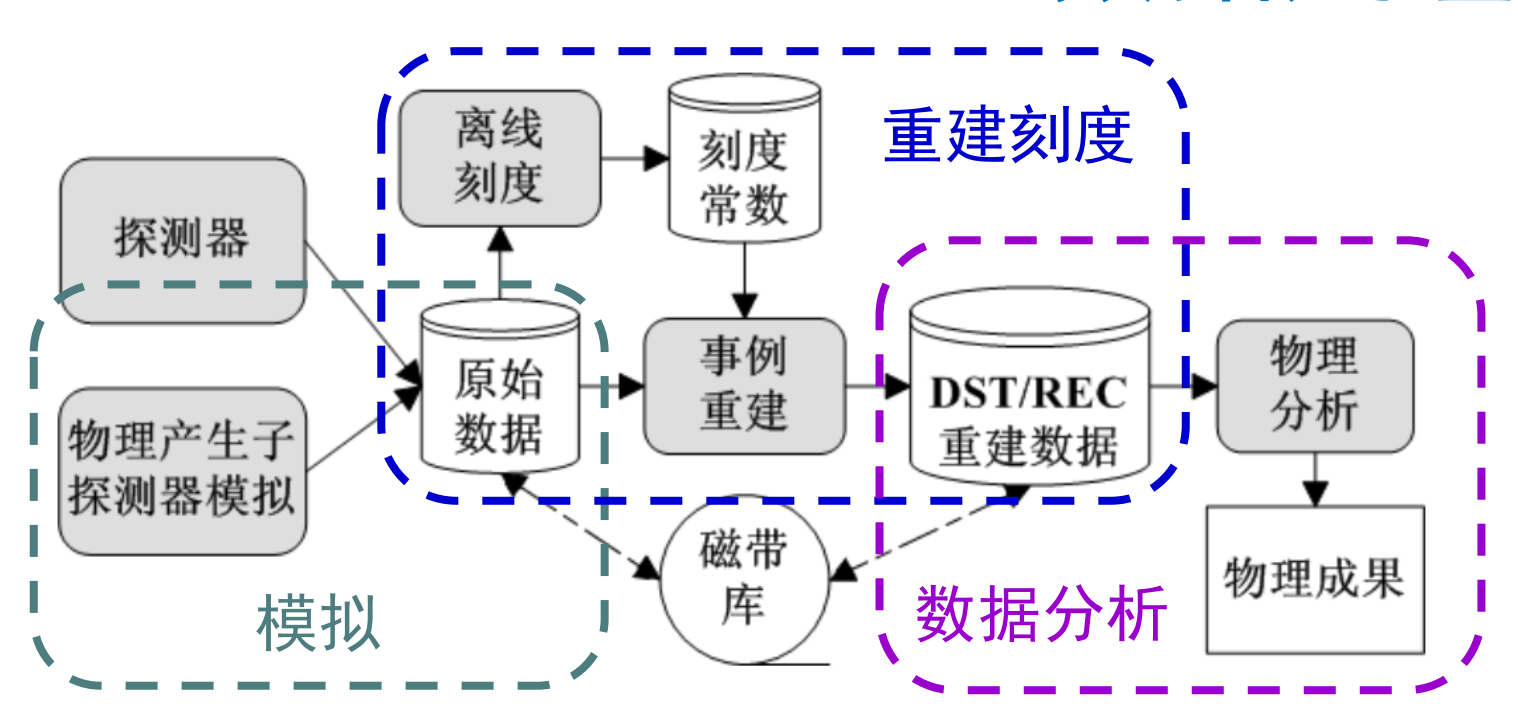


- 高亮度的加速器或信号源 ightharpoonup 高统计量的实验数据 n_{tot}
- 高精度的探测器
 - 探测效率 / 探测器分辨
 - 物理过程: 电离能损、多次散射、康普顿效应等等
 - 束流本底与电子学噪声
- 数据处理
 - 重建效率 / 重建算法性能
- 物理分析
 - 事例选择效率: n_{sig} 统计误差
 - (质量)分辨:信号显著性

$$BR = \frac{n_{sig}}{n_{tot} \cdot BR_{inter} \cdot \varepsilon}$$

原始数据记录的电子学信号不能直接用于物理分析,需要在计算平台通过数据处理形成重建数据 计算与软件是粒子物理实验的重要环节!

数据处理



- 模拟: signal MC / Inclusive MC 探测器设计 / 事例选择效率 / 本底分析
- 重建: 电子学信号 → 物理量
- 数据分析: Real Data / MC 研究物理过程与规律

数据处理和物理分析流程

- 软件框架提供有效的数据管理工具,不同软件模块的组合和动态库的链接机制
- 通过刻度与重建,压低各种条件的影响和排除噪声本底,最大限度挖掘加速器和探测器性能
- 实现精确的探测器模拟,为事例选择效率计算、选择条件优化和本底估计等提供可靠依据
- 利用优秀数理方法联合各种实验信息开发物理分析工具软件,进一步提高实验精度

离线软件的构成

• 基础软件库和工具

- 软件开发通用库和工具
- · 高能物理领域通用的流行软件: Geant4, ROOT等

• 框架软件

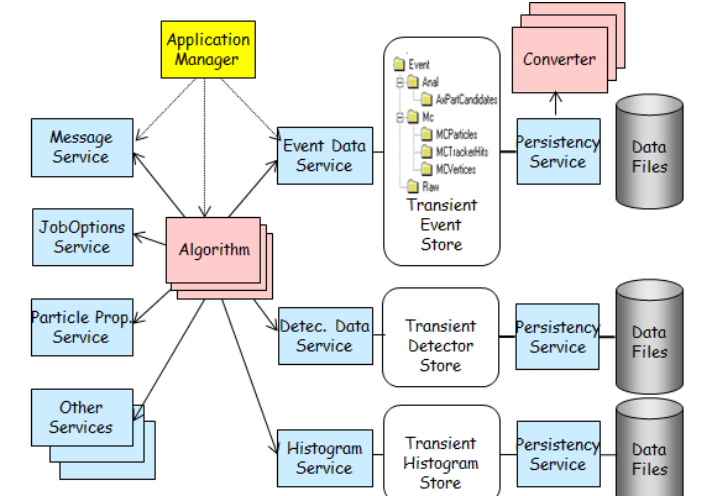
- · 狭义上指通用的离线软件框架,与实验 无关,如Gaudi、SNiPER等
- 通常也包括与实验相关的通用功能模块, 如数据模型及其I/O、数据库接口等

• 数据处理和分析软件

- 与实验紧密相关,需要有物理背景人员 开发
- 专注于对数据的计算(算法),不用关心底层软件技术细节

Applications usually rely on large number of libraries, where some depend on others

- Interfaces to tracking and reconstruction libraries (PandoraPFA, ACTS)
- (More or less) experiment specific event data modellibraries
- Experiment core orchestration layer, which controls everything else: Marlin, Gaudi, CMSSW, AliRoot
- Packages used by many experiments: DD4hep, Pythia,
- Usual core libraries (ROOT, Geant4, CLHEP, ...)
- Non-HEP libraries: boost, python, cmake . . . -



GAUDI为应用程序提供了软件框架, 开发人员将代码植入框架中, 同时提供通用功能

Applications

Experiment Framework

Core HEP Libraries

OS Kernel and Libraries

(Non-HEP specific)

EDM

DetSim

Database

Interfaces

EvGen

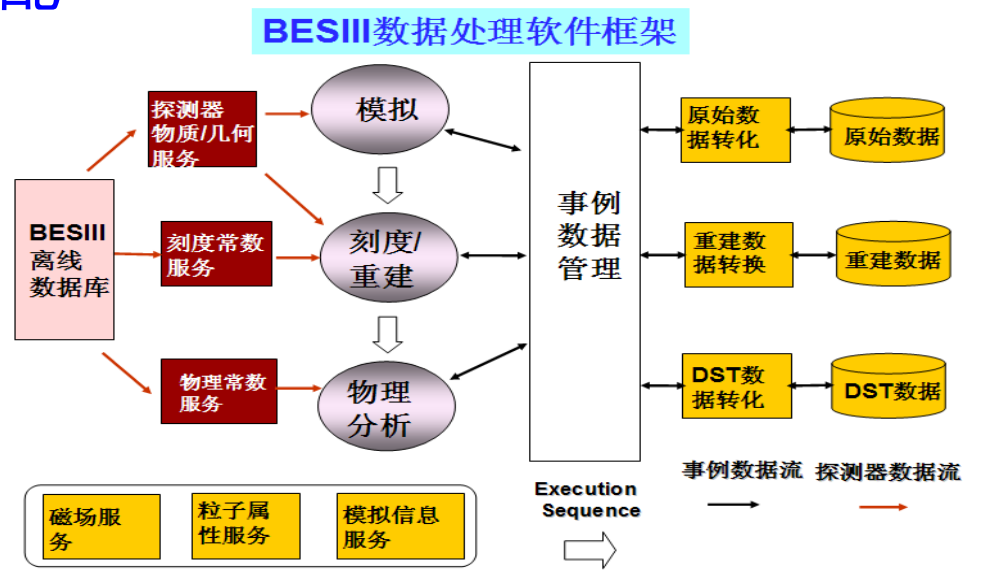
- · 算法(多变)和数据(稳定)分 离,算法以插件形式动态嵌入框 架执行
- 瞬态数据(内存)与持久数据 (磁盘)分离

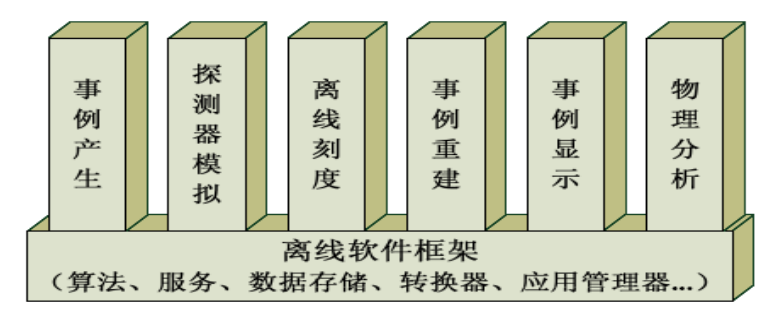


Specific

BESIII实验离线软件

- BOSS采用通用框架软件GAUDI为基础的离线数据处理软件系统
- 根据BESIII实验的需求,设计了 Event Data Model, Event Management, File I/O System, Services,
- 粒子物理实验国际通用软件库和工具软件的支持: Geant4, ROOT, MySQL, CERNLIB, CLHEP,
- 提供简单易用、安全可靠、服务齐全的数据处理环境,高效的数据管理和灵活的软件调配













探测器刻度

- 探测器固有性能和刻度算法水平是决定 物理测量结果精度/信号显著性的最主要 贡献之一
- 通过刻度算法把探测器的优良的空间分辨, 时间分辨等转化为物理分析中的动量/能量分辨, 粒子鉴别能力等性能指标
- BESIII各个子探测器性能达到或超过设计 指标;达到同类型探测器国际先进水平, 部分指标处于国际领先
- 探索利用先进数理方法,如深度学习等进一步优化探测器性能

Exps.	MDC Spatial resolution	MDC dE/dx resolution	EMC Energy resolution
CLEOc	110 μm	5%	2.2-2.4 %
Babar	125 μm	7%	2.67 %
Belle	130 μm	5.6%	2.2 %
BESIII	115 μm	<5% (Bhabha)	2.4%

Exps.	TOF Time resolution	
CDFII	100 ps	
Belle	90 ps	
BESIII	68 ps (BTOF) 60 ps (ETOF)	

MUC: Efficiency ~ 96%

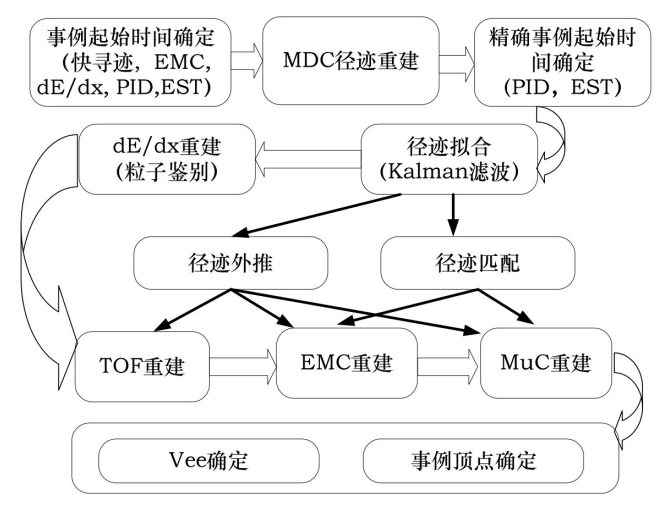
BG level:

 $< 0.04 \text{ Hz/cm}^2(B-MUC),$

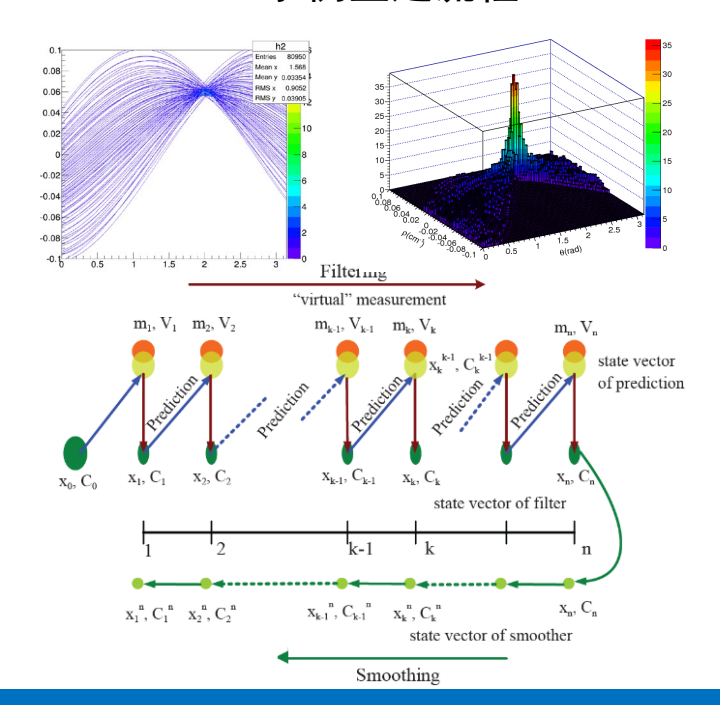
< 0.1 Hz/cm²(E-MUC)

事例重建

- 事例重建软件将原始数据中记录的电子学信号转化为粒子的动量、能量等物理量,生成重建数据,供物理课题研究使用
- BESIII事例重建:
 - 快寻迹和事例起始时间
 - 漂移室带电径迹重建
 - Kalman滤波径迹拟合
 - dE/dx径迹重建
 - EMC、TOF、MUC 重建和径迹外推与匹配
- 开发和应用基于模式匹配、共形变换、霍夫变换的径迹寻找 算法,采用卡尔曼(Kalman)滤波的径迹拟合算法,实现精 确计算带电径迹参数和误差矩阵的目标
- 加速器和探测器的噪声本底是限制重建效率和精度的最关键因素,探索利用探测器自身特点和信号噪声特征,调试与优化噪声本底排除机制是未来主要研究方向之一



BESIII事例重建流程



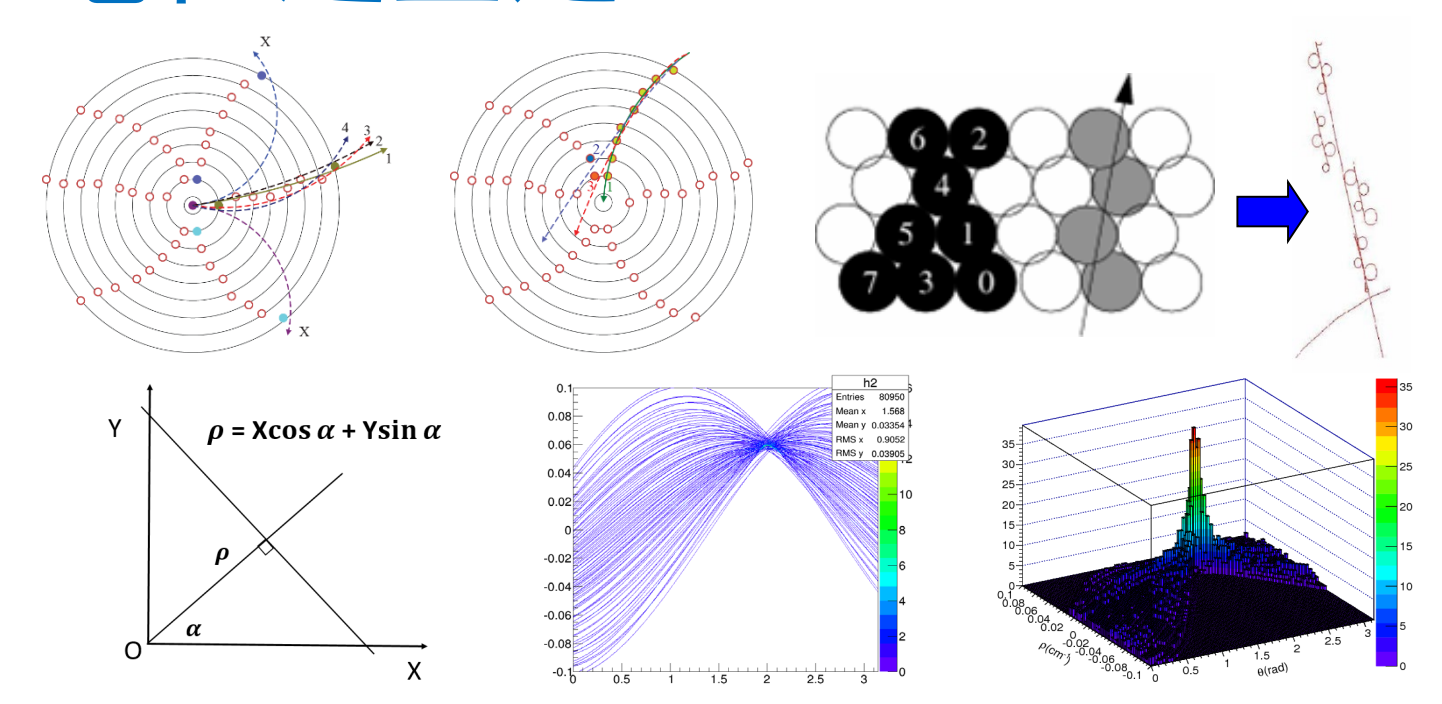
带电径迹重建

寻迹(模式识别)

测量点与径迹的对应关系

- ▶局域方法: 如径迹跟踪、径迹 路径、径迹元等
- ▶全局方法:如模式匹配,霍夫 变换方法等
- 径迹拟合(参数估计) 径迹参数 + 误差矩阵
 - ▶最小二乘法拟合
 - ▶ Kalman 滤波方法
- 统计检验

$$\chi^2 = \sum_{i=1}^n \frac{(d_{mea} - d_{track})^2}{\sigma^2}$$



径迹参数(螺旋线): d_{ρ} , d_{z} , κ , ϕ_{0} , λ

$$x = x_0 + d_\rho \cos\phi_0 + \frac{\alpha}{\kappa} (\cos\phi_0 - \cos(\phi_0 + \phi))$$

$$y = y_0 + d_\rho \sin\phi_0 + \frac{\alpha}{\kappa} (\sin\phi_0 - \sin(\phi_0 + \phi))$$

$$z = z_0 + d_z - \frac{\alpha}{\kappa} \lambda \cdot \phi$$

$$p_x = -\frac{1}{\kappa} \sin(\phi_0 + \phi)$$

$$p_y = \frac{1}{\kappa} \cos(\phi_0 + \phi)$$

$$p_z = -\frac{1}{\kappa} \lambda$$

$$p_x = -\frac{1}{\kappa}\sin(\phi_0 + \phi)$$

$$p_y = \frac{1}{\kappa}\cos(\phi_0 + \phi)$$

$$p_z = -\frac{1}{|\kappa|}\lambda$$

带电径迹重建

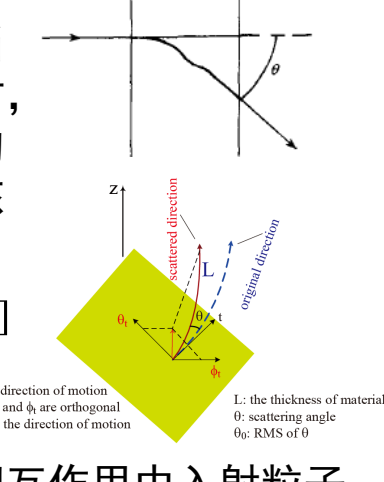
• Kalman Filter 方法由一系列递归数学 公式描述

- 高效的可计算的方法来估计过程的状态,可以估计信号的过去和当前的状态,甚至能估计将来的状态,及时不知道模型的确切性质
- 应用广泛,功能强大。可用于粒子物理实验中参数的优化估计,如径迹重建,顶点重建和运动学拟合等领域
- 理想的空间螺旋线拟合, 没有考虑到:
 - 多次散射
 - 能量损失(束流管,漂移室内壁等物质效应)
 - 磁场的不均匀性
- Kalman Filter 方法包括径迹参数和误 差矩阵的改进

多次库伦散射

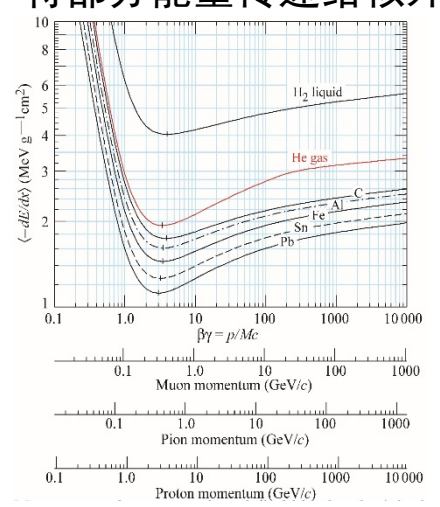
带电粒子通过介质时与原子的电子发生相互作用,当入射带电粒子与介质原子最接近距离比原子半径小时,入射粒子将受到原子核电场的相互作用,入射粒子的轨迹将受到核电场的偏转,这种过程称为介质原子核的多次库伦散射。

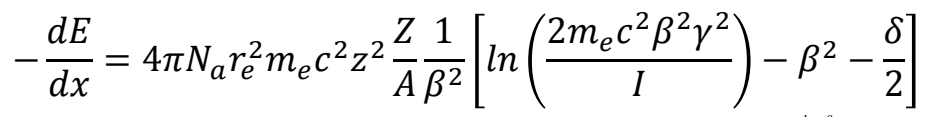
$$\theta_{RMS}^{proj} = \sqrt{\langle \theta^2 \rangle} = \frac{13.6 MeV}{\beta cp} \cdot z \cdot \sqrt{x/X_0} \cdot [1 + 0.038 \cdot ln(x/X_0)]$$



能量损失

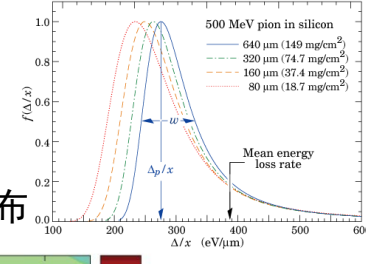
带电粒子通过介质时与介质原子发生相互作用,在相互作用中入射粒子将部分能量传递给核外电子,使介子原子产生电离或激发而损失能量。

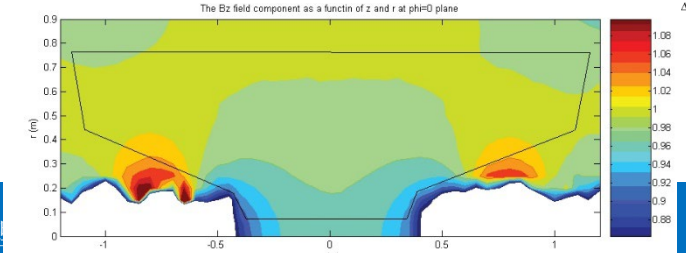




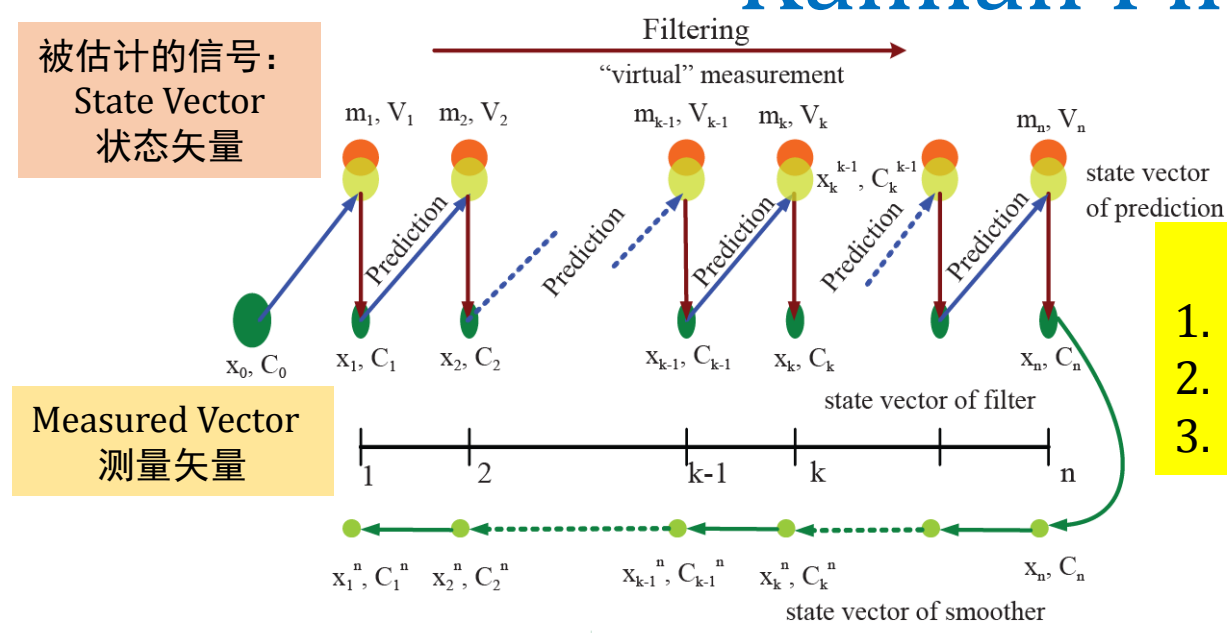
低能区: $\sim 1/\beta^2$ 最小电离粒子(MIP): $\beta\gamma\sim3.2$ 相对论上升和密度效应

电离能损围绕平均值有统计涨落, 穿过薄介质层时,Landau(朗道)分布





Kalman Filter径迹拟合



三个步骤

- 1. 预言 Prediction
- 2. 过滤 Filtering
- 3. 平滑 Smoothing

系统传输方程:

把上一时刻的状态量影射到当前时刻的状态量

$$x_k = F_{k-1}x_{k-1} + \eta_{k-1} \quad cov(\eta_{k-1}) = Q_{k-1}$$

 F_{k-1} : 传输矩阵, η_{k-1} : 随机的传输误差

测量响应方程: 描述观测量与状态矢量的关系

$$m_k = H_k x_k + \varepsilon_k \quad cov(\varepsilon_k) = V_k$$

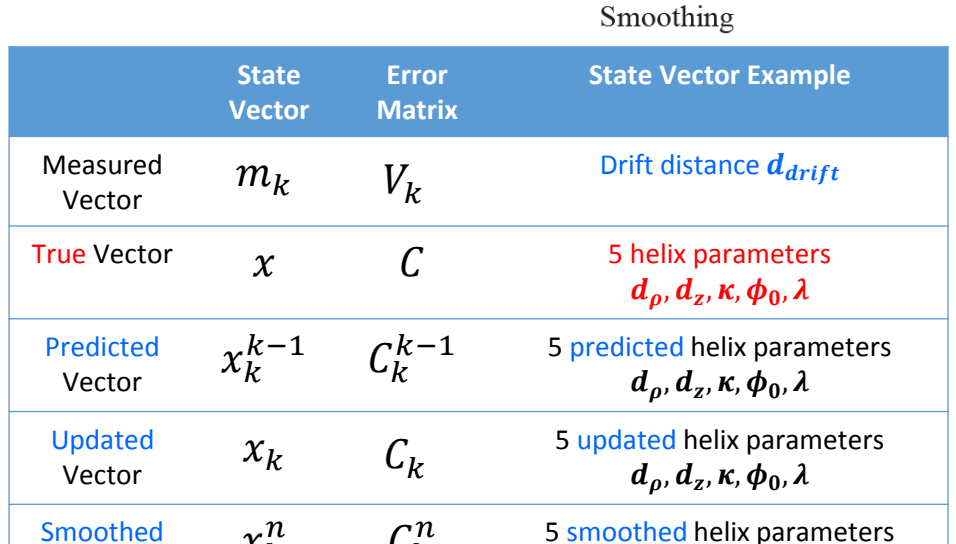
 H_k : 状态矢量 x_k 对测量量 m_k 的增益矩阵

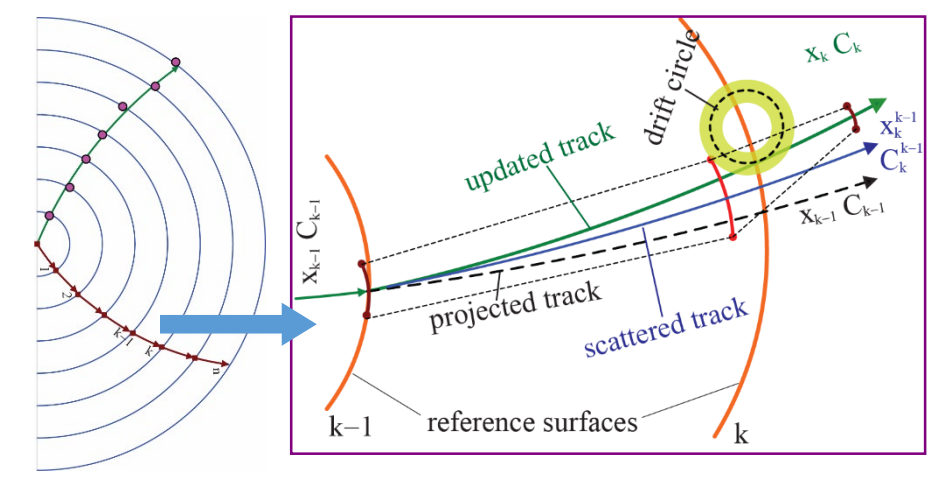
2000

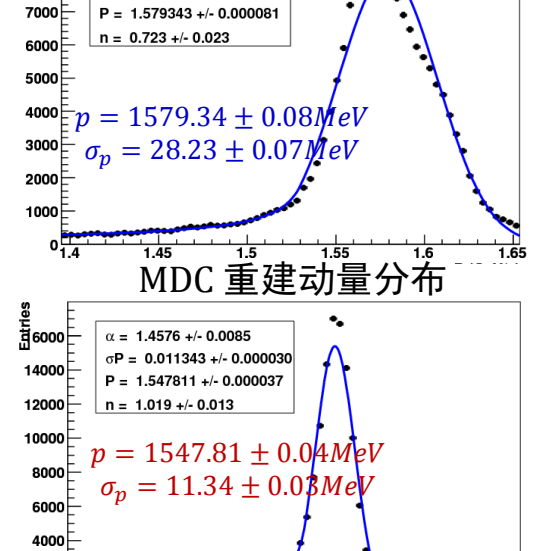
 $\alpha = 1.754 + -0.013$

 $\sigma P = 0.028225 + -0.000070$

 ε_k : 测量误差







Kalman Filter 拟合动量分布

Vector

 $d_0, d_z, \kappa, \phi_0, \lambda$

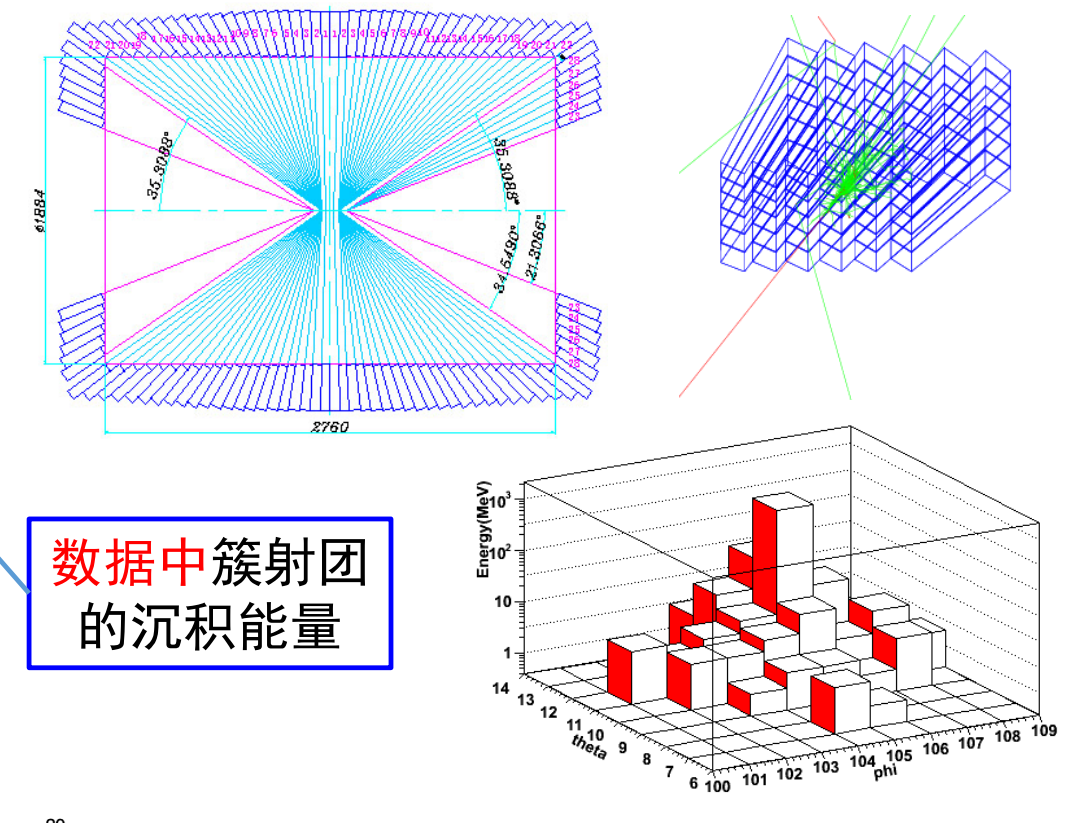
电磁量能器的刻度与重建

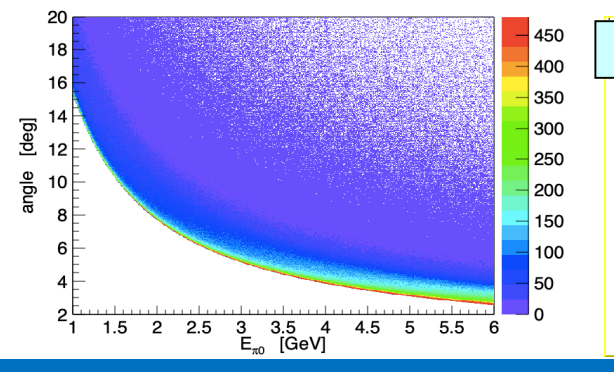
- 电磁量能器用于精确测量光子能量和位置
- 刻度
 - >探测单元(晶体)的能量刻度

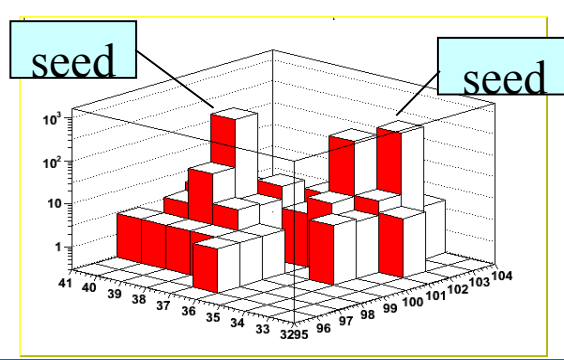
Monte caro中 簇射团的沉积能量 <mark>预期沉积能量</mark>

$$\chi^{2} = \sum_{k=1}^{N} \frac{E_{exp}^{k} - \sum_{i}^{5 \times 5} g_{i} \cdot E_{i}^{elec}}{\sigma(\theta, \phi)}$$

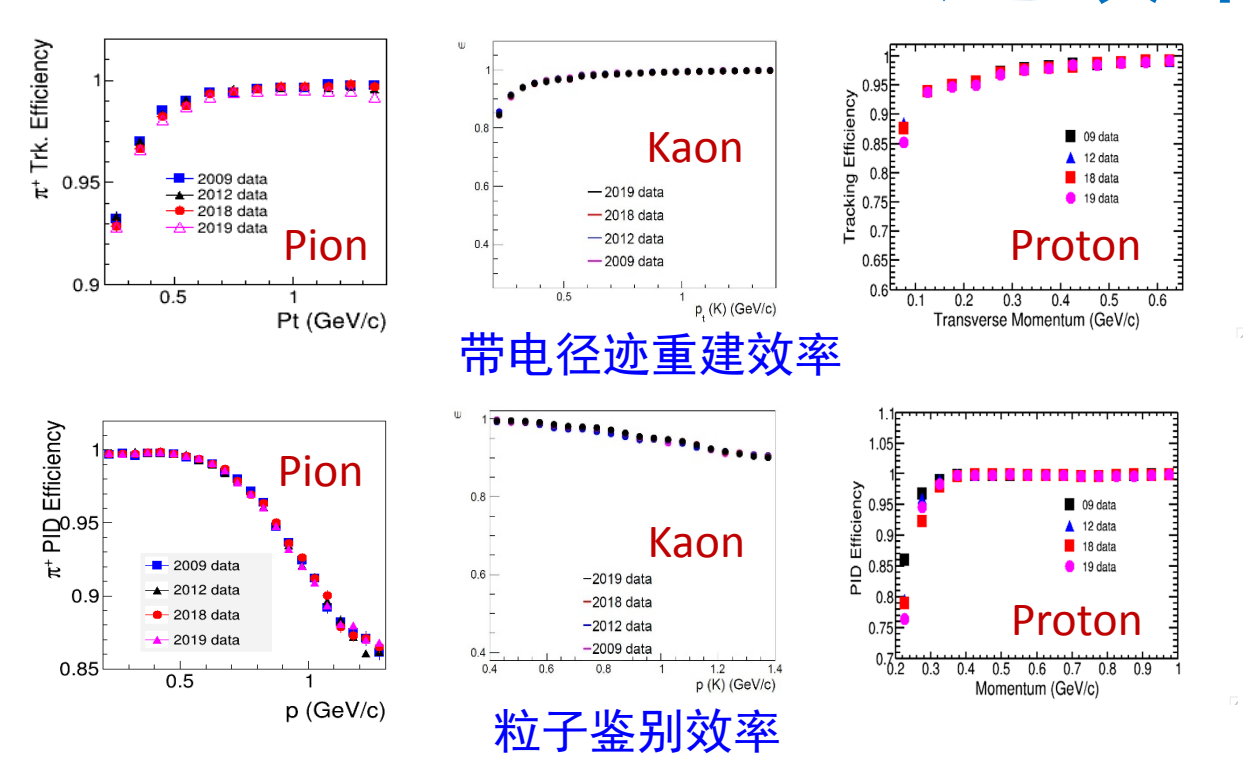
- ▶簇射绝对能量刻度
- ▶位置修正
- 重建
 - ▶簇射团的寻找: 一系列沉积能量大于某个阈值 的晶体集合
 - \triangleright 簇射团的劈裂($\pi^0 \rightarrow \gamma\gamma$): 每块晶体测量能量包括来自多个簇射的贡献

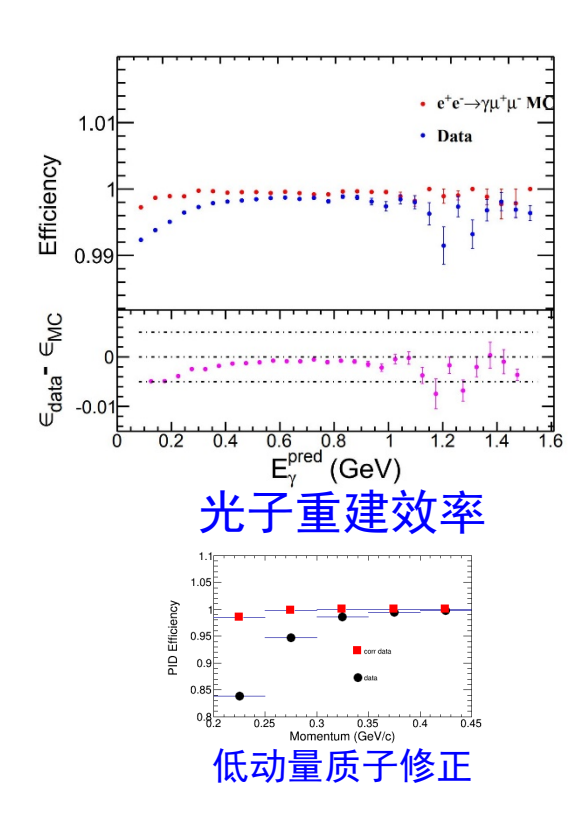






重建效率

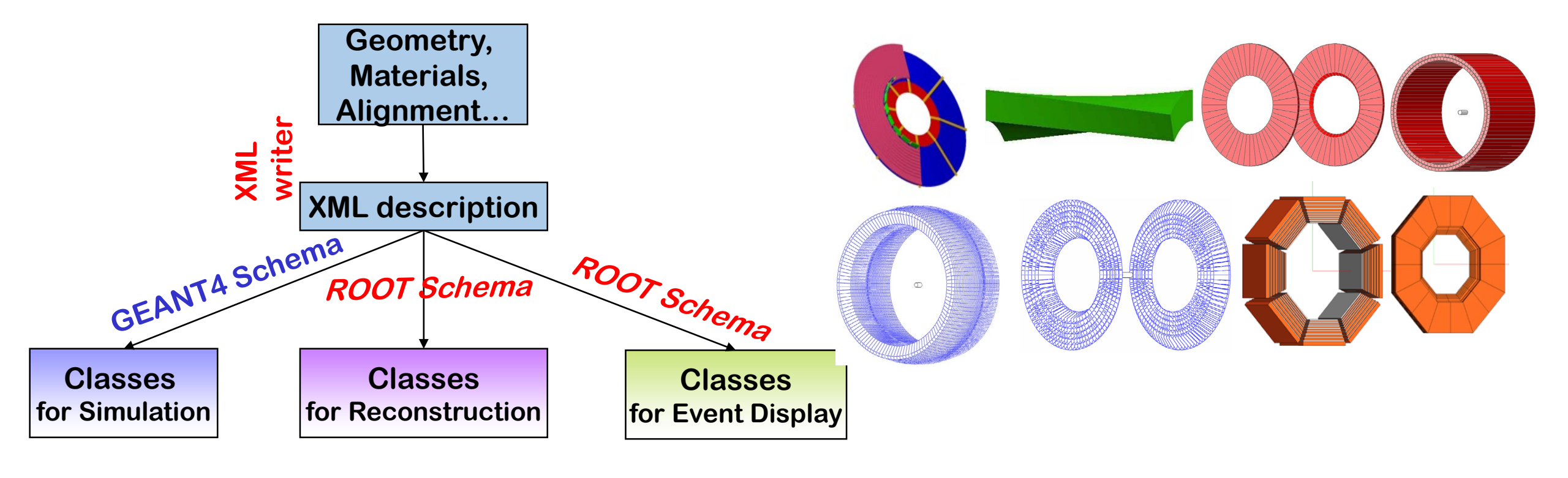




- 高横动量带电径迹重建效率接近100%;提高低横动量(<200MeV)径迹重建效率,压低假径迹比例是提高事例选择效率,对粲重子和粲介子研究十分重要
- 光子重建效率接近100%
- 粒子鉴别效率实现探测器设计要求;通过低动量质子修正获得正确粒子鉴别效率;尝试利用先进的机器学习/深度学习技术提高粒子鉴别效率

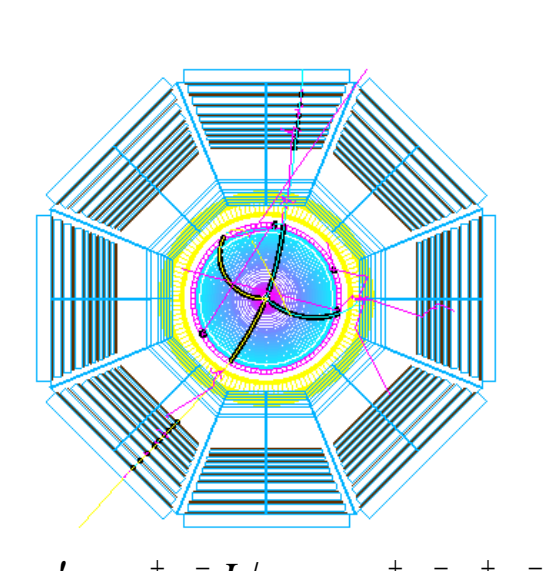
探测器几何构建

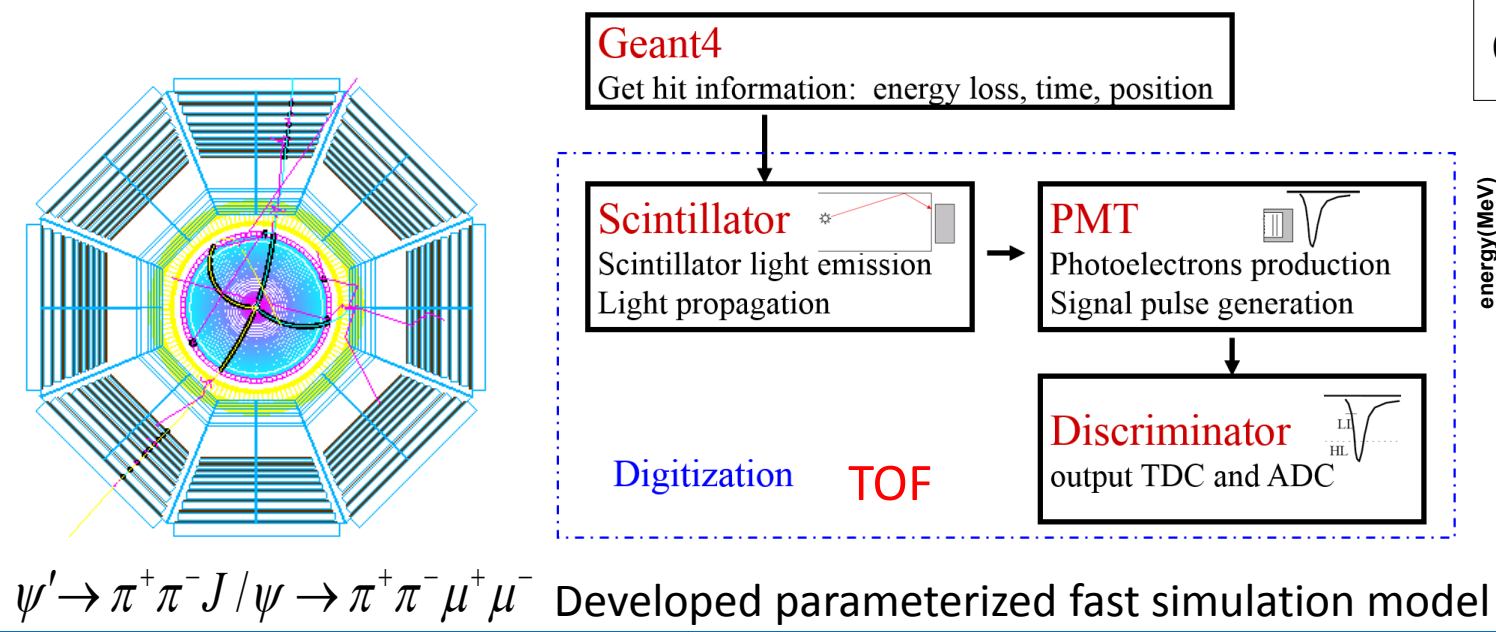
- BESIII探测器几何基于 GDML(Geometry Description Markup Language)方式构造
- 实现了一系列不规则和复杂几何结构的精确探测器描述
- 基于GDML格式的统一的几何管理服务

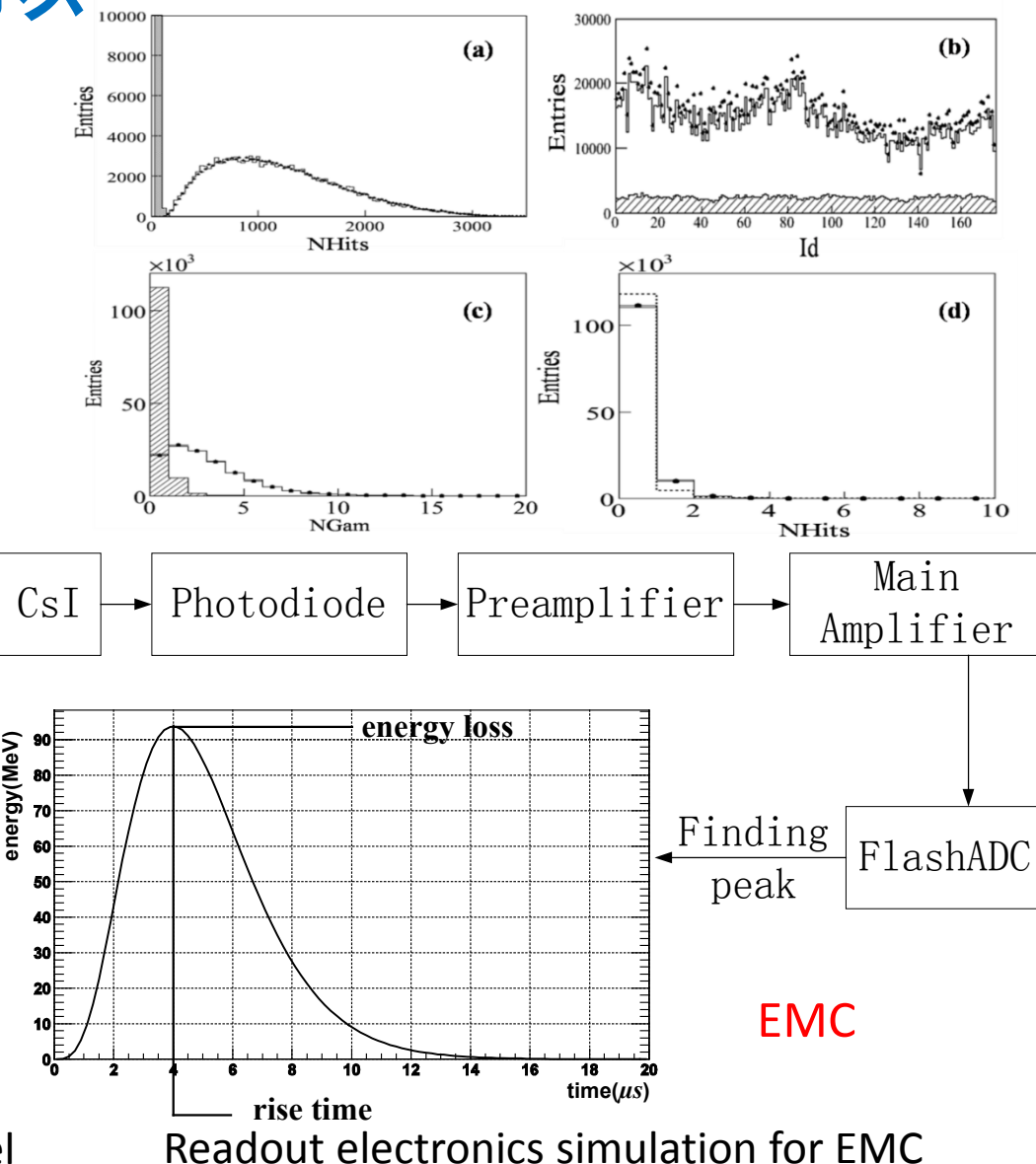


探测器模拟

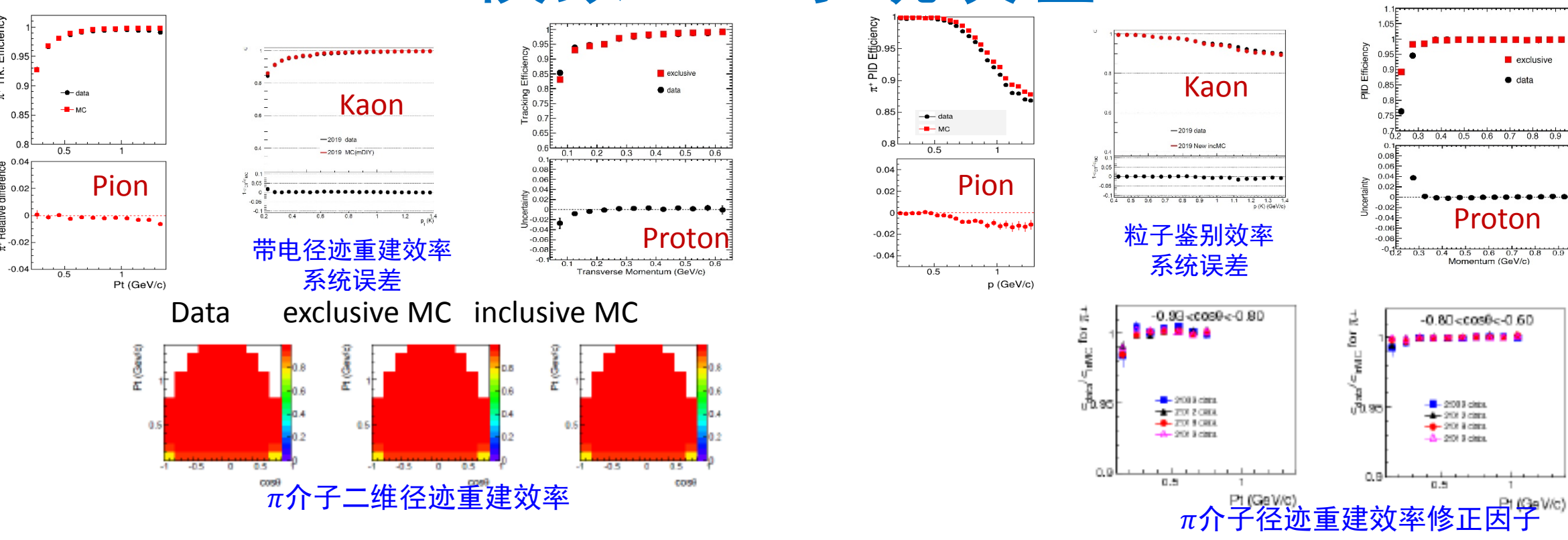
- 探测器模拟软件BOOST
- 粒子在探测器中的传输和相互作用
- 探测器的响应(数字化)
- 真实化模拟
- 调试和测试







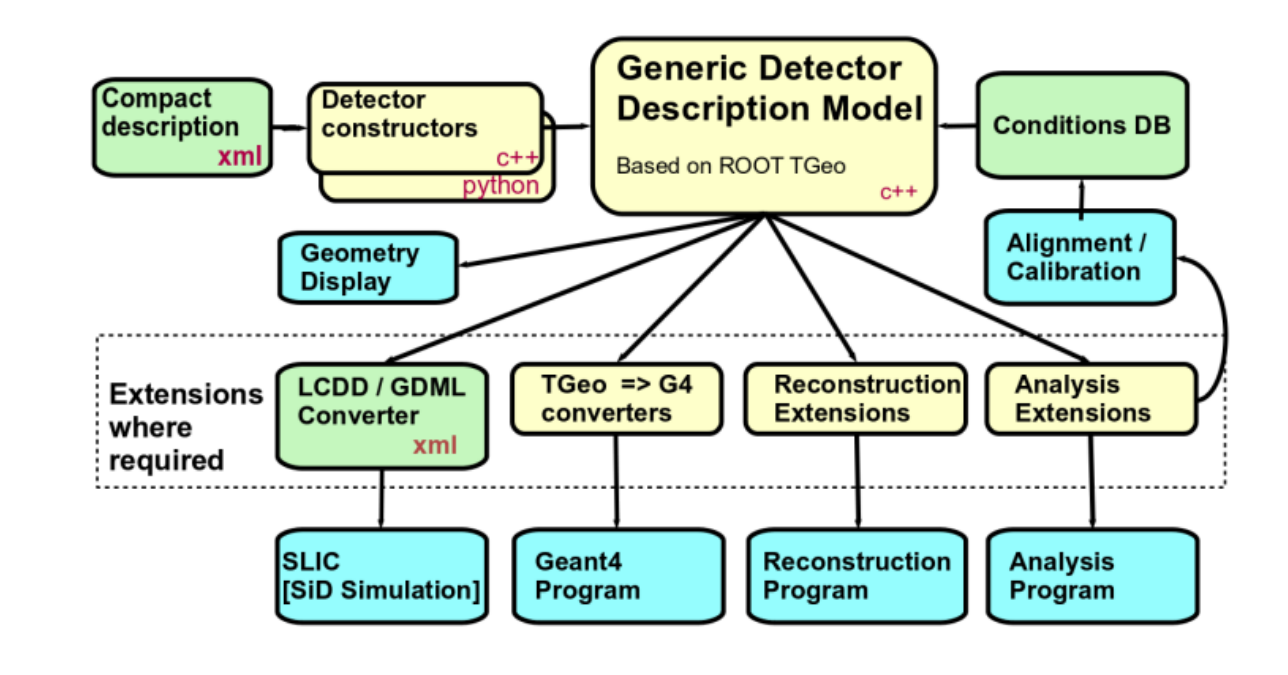
模拟 — 系统误差



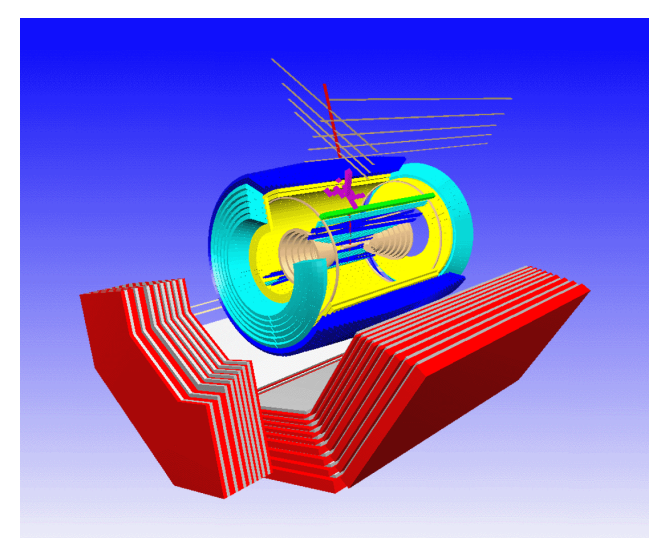
- 系统误差与统计误差一样, 是衡量物理测量精度的重要参数
- 数据与模拟的不一致被认为是物理结果系统误差的最主要来源
- 高亮度(或高截面)的实验使得统计误差不断降低,要求进一步压低系统误差, 使之达到与统计误差一致的水平
- 利用数据驱动的新思路解决系统误差问题

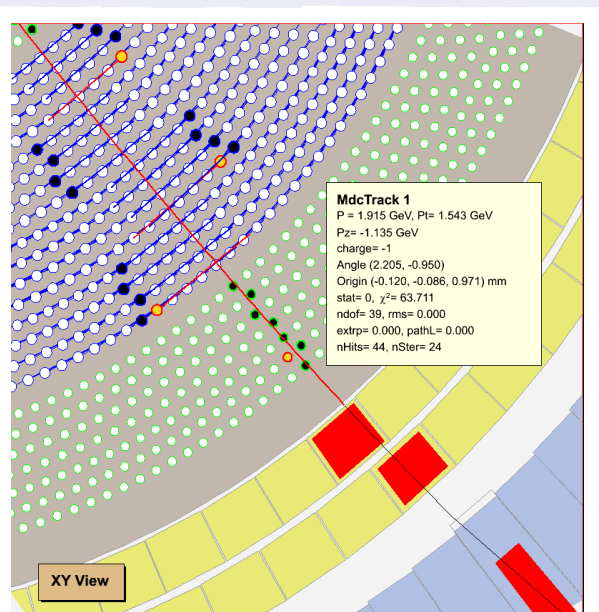
探测器描述工具: DD4hep

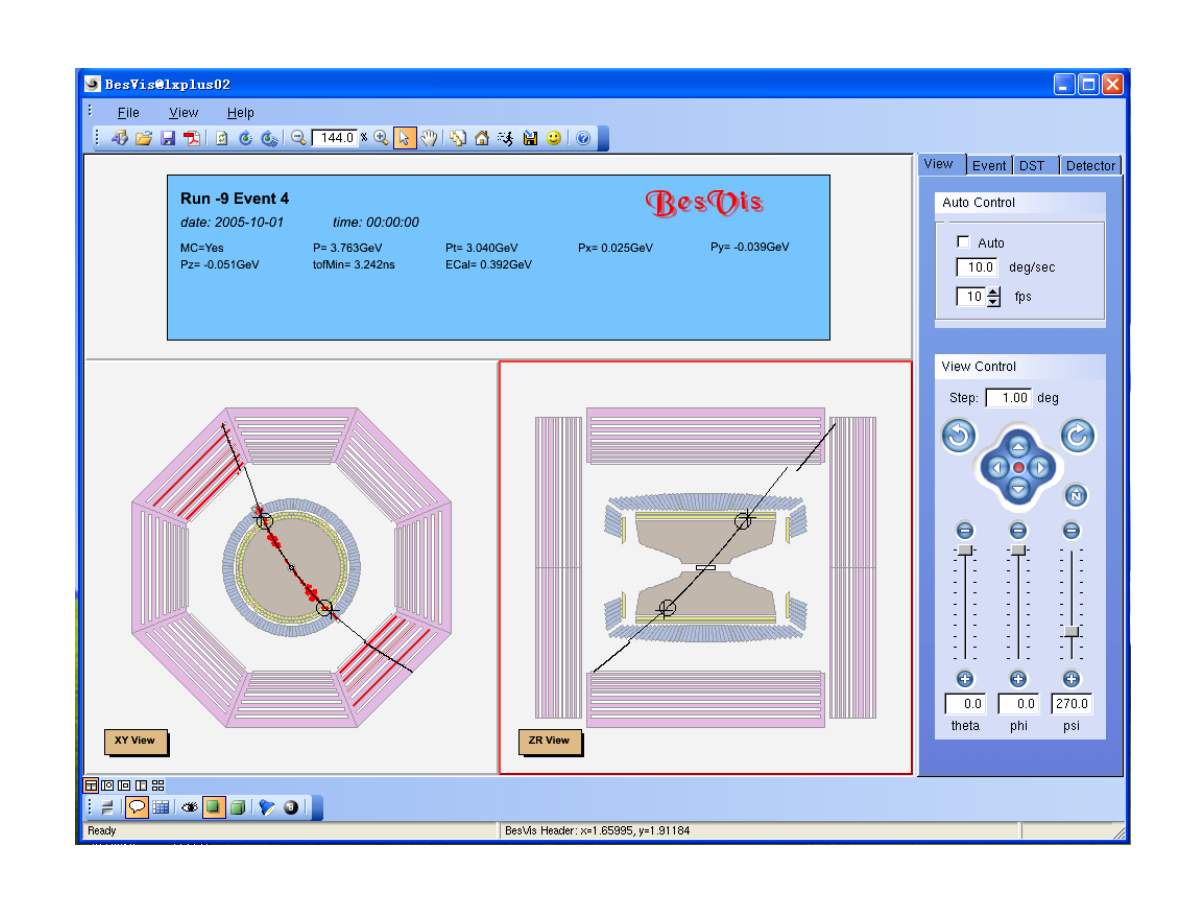
- 一套完整的探测器描述工具,提供 唯一的信息来源
 - 几何、物质描述、可视化、读出、校准、刻度和重建算法
- 支持实验研究的整个生命周期
 - 探测器概念设计、优化、建造和运行
- 已经被 ILC、CLIC、FCC、CEPC和 STCF等实验采用

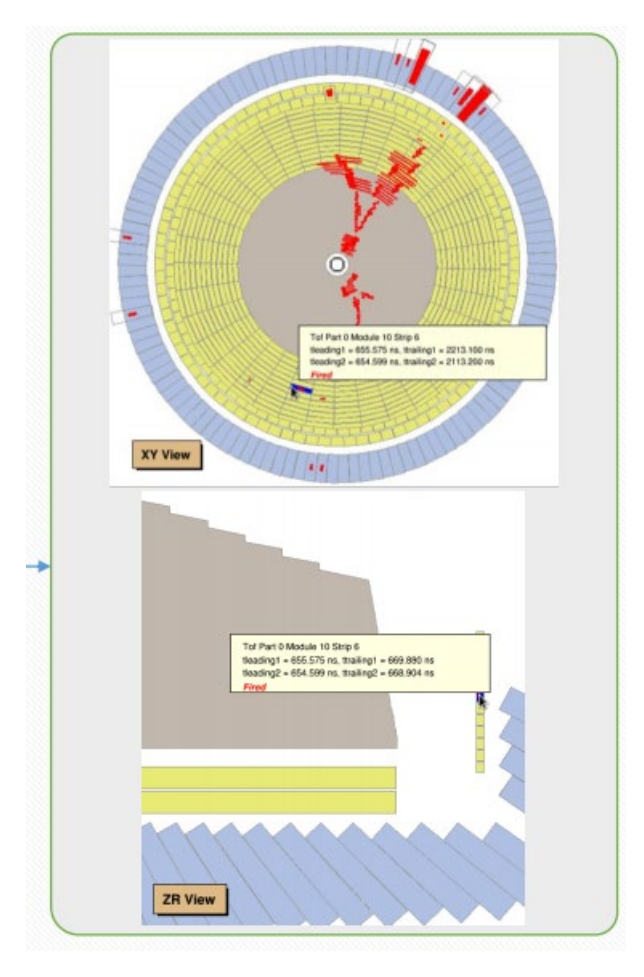


事例显示









- 事例显示软件是在事例级别对实验数据的可视化分析
- 广泛应用于探测器设计、监控、事例产生、重建、探测器模拟、数据分析等等

总结

- •数据处理不仅仅是粒子物理实验的"工具",是实验的重要环节
- 原始数据主要包括电子学测量的时间幅度等信息,同时包括噪声和本底,不能直接用于物理研究;需要经过数据处理,得到各个粒子的测量的物理量
- 刻度和重建算法的性能直接影响物理事例的探测性能,如探测效率和能动量分辨等
- 模拟与数据的不一致是系统误差的主要来源,利用各种方法提高模拟精度是改善物理测量精度的重要手段
- 新技术新思维将为物理研究提供更加强有力地支撑和推动

谢谢大家!